

بررسی زلزله شناختی، زلزله شناختی مهندسی و پردازش داده های شتابنگاری زلزله ۱۷ اوت ۱۹۹۹ ایزمیت (گولجوک، کوجائلی) ترکیه

مهدى زارع، استادیار پژوهشکده زلزله شناسی پژوهشگاه

- ۱ - مقدمه

سازوکار ژرفی این گسیختگی راستالغز بوده که با توجه به موقعیت گسل آناتولی شمالی و شواهد روی زمین، سازوکار راستالغز راستگرد به عنوان سازوکار غالب در این زلزله معرفی می‌کردد. بر طبق آمار رسمی بیشینه شدت در این رویداد در ناحیه گولجوک و پیرامون خلیج ایزمیت در مقیاس $MSK = X^+$ گزارش گردید. آمار کشته‌ها با توجه به تعداد مفقودین که در هفته‌های اول پس از رویداد حدود ۳۰,۰۰۰ نفر اعلام شد، باید به مراتب بیش از ۱۵۰۰۰ نفر بوده باشد.

زلزله ایزمیت در پایگاه پژوهشکده زلزله شناسی پژوهشگاه نیز ثبت گردید که نگاشت آن در این مقاله ارائه می‌گردد. علاوه بر آن، جنبش شدید زمین با نگاشتهای به دست آمده از شبکه مرمره نیز در این مقاله معرفی می‌شود. بیشینه شتاب در دسترس که مربوط به پایگاه شتابنگاری یاریمجا بود در فاصله حدود ۱۰ کیلومتری از گسیختگی سطحی واقع بوده است (بیشینه شتاب بیش از ۳۰%). جنبشهای قویتری از آذپازاری و دوزجه که در بخش خاوری ایزمیت واقعندیز گزارش شده، ولی نگاشتهای آنها تا هنگام آماده سازی این مقاله در دسترس نبوده است.

در این مقاله ویژگیهای لرزه زمین ساختی ناحیه باختری پنهان گسل آناتولی شمالی معرفی، عوامل ساختاری و زلزله شناختی این رویداد بحث، ویژگیهای زلزله شناختی و پس لرزه‌های این زلزله بررسی می‌شود. در نهایت به ویژگیهای زلزله شناختی مهندسی زلزله ایزمیت، بیشینه شدت و بیشینه شتاب زمین لرزه در این زلزله پرداخته می‌شود. در این قسمت داده‌های شتابنگاری حاصله در این زلزله پردازش شده و شتابنگاشتهای تصحیح شده برای ۱۰ ایستگاه (که همگی در لرزه اصلی حاصل شده‌اند) به همراه طیفهای آنها برای میراییهای مختلف ارائه می‌شود.

زمین لرزه خلیج ایزمیت که در سحرگاه ۱۷ اوت ۱۹۹۹ (۲۶ مرداد ۱۳۷۸) در شمال باختر کشور ترکیه رخ داد، با گسیختگی حدود ۱۲۵ کیلومتر گسل زمین لرزه ای همراه بود و موجب کشته شدن حدود ۱۵۰۰۰ نفر شد. در این زلزله از دیدگاه زلزله شناختی می‌توان به بروز حالت جهت‌پذیری بر اثر گسیختگی طولانی در راستای پنهان گسل آناتولی شمالی اشاره نمود. سازوکار ژرفی این زلزله از نوع راستالغز راستگرد و این زلزله پایان یک نیواد لرزه ای بوده است و هیچ گسیختگی زمین لرزه ای بر اثر جنبش این گسل پس از سال ۳۵۸ میلادی در ناحیه ایزمیت گزارش نشده بود. از نظر جنبش شدید زمین نیز نگاشتهای با دوام زیاد، بیشینه شتاب کم و کاهندگی کمتر در راستای گسل و بیشتر در جهت عمود بر گسل از ویژگیهای این زلزله بوده است. زمین لرزه خلیج ایزمیت (استان کوجائلی و استان ساکارایا در شمال باختری ترکیه) از دیدگاه زلزله شناختی دارای ویژگیهای مهمی بوده- است که آن را منحصر به فرد می‌کند. رصدخانه کاندیلی استانبول بزرگای زلزله را در مقیاس امواج سطحی $7/8$ و در مقیاس امواج حجمی $6/3$ گزارش نمود. این زلزله که در تاریخ ۱۷ اوت ۱۹۹۹ با $M_w = 7.4$ (USGS) در استان کوجائلی در شمال باختر ترکیه رخ داد با جنبش این گسل طولانی ترین گسلهای امتدادلغز جهان (گسل شمال آناتولی) همراه بود. گسل آناتولی شمالی از سال ۱۹۳۹ میلادی مرتباً جنبش شده و گسیختگی‌های متعددی ایجاد نموده است. جنبایی گسل آناتولی شمالی با رویداد زمین لرزه‌های مخربی با $M > 7$ همراه بوده است که آخرین آنها زمین لرزه ۱۹۹۹ ایزمیت می‌باشد. گسیختگی سطحی این گسل در زلزله ایزمیت حدود ۱۲ کیلومتر و در نوع خود یک گسیختگی سطحی طولانی می‌باشد (گرچه گسل آناتولی شمالی گسیختگی‌های سطحی بیش از این نیز در ۶۰ سال اخیر از خود نشان داده است).

مرتبط با حوزه‌های کششی (*Pull-Apart*) تشکیل شده‌اند. شاخه شمالی این پهنه کسله ساختار حوزه دریایی مرمره را شکل می‌دهد. شاخه جنوبی از نظر زمین ریخت شناختی وضوح کمتری دارد. در پیرامون دریای مرمره یک شبکه بسته *GPS* نصب شده است که میزان لغزش گسل آناتولی شمالی 31 ± 17 میلیمتر در سال نشان می‌دهد [۵]. سازوکار غالب در پهنه گسل آناتولی شمالی به صورت دگر شکلی برشی می‌باشد؛ لذا، اکثر زمین لرزه‌های مرتبه با این پهنه گسلی (از جمله زلزله‌های ۱۹۴۳، ۱۹۵۷، ۱۹۶۷، شکل ۲) دارای سازوکار ژرفی راست‌الغز راستگرد بوده‌اند. کاری بودن سیستم یاد شده به صورت برشی، با وجود روندهای ثانویه به صورت گسل کششی می‌باشد (از جمله زمین لرزه‌های ۱۹۶۳، ۱۹۶۴، ۱۹۷۵، شکل ۲). در بخش جنوبی پهنه-گسلی آناتولی شمالی، لرزه خیزی بالا با سازوکار کششی غالب است.

ضخامت لایه لرزه زا (*Seismogenic*) در این ناحیه $12/5$ کیلومتر برآورد شده است. پهنه زلزله زده ایزمیت (۱۹۹۹) در نزدیکی پهنه زمین لرزه ۱۹۶۷ دره مودورنو (*Mudurnu*) با $M_s = 7.1$ قرار-گرفته است. در مقطع زمانی ۱۹۳۹ تا ۱۹۹۹ هفت زمین لرزه بزرگ بر اثر فعالیت پهنه گسلی آناتولی شمالی رخ داده است [۶]. لازم به ذکر است که رویداد زمین لرزه ۱۹۹۹ ایزمیت پس از وقوع زلزله سال ۳۵۸ میلادی ایزمیت اولین رویداد مهم در این پهنه بوده است. امیانوس مرسلینوس (*Ammianus Marcellinus*) نویسنده یونانی قرن چهارم در گزارشی که گودوبونی (*Guidoboni*) به انگلیسی ترجمه کرده-است، به وقوع یک زلزله تاریخی در سال ۳۵۸ در این مکان اشاره نموده که با فرو ریختن تپه‌ها و زمین لغزش، خرابی خانه‌ها و برخاستن غباری عظیم همراه بوده است. مرسلینوس در گزارش مذکور به یک فاجعه که با تلفات فراوان انسانی همراه بوده و وقوع یک آتش سوزی وسیع که موجب خرابی‌های بیشتر پس از رویداد لرزه اصلی شده، اشاره کرده است. آنچه مسلم است، رویداد زلزله ۱۹۹۹ به یک نبود لرزه‌ای از زمان زلزله ۳۵۸ میلادی، در راستای ۱۰۰ تا 150 کیلومتری از پهنه گسل آناتولی بین پهنه‌های رومرکزی زلزله‌های ۱۹۶۴، ۱۹۶۷ و ۱۹۷۷ پایان داده است. این نبود برای اولین بار توسط توکسوز و همکاران در سال ۱۹۷۹ معرفی گردید [۷] و خطر منتنب به آن توسط اشتین و همکاران در سال ۱۹۹۷ مورد بررسی قرار گرفت [۸]. اشتین و همکاران، برای گسیختگی این قطعه از پهنه گسله آناتولی در فاصله سال ۱۹۹۶ تا ۲۰۲۶ میلادی احتمال وقوع 12% را مطرح نمودند.

۲- لرزه خیزی و لرزه زمین ساخت پهنه گسله آناتولی شمالی گسیختگی بر روی پهنه گسله آناتولی شمالی بر اثر حرکت به سوی شمال صفحه عربی و پایداری صفحه اوراسیا رخ می‌دهد و صفحه آناتولی به این ترتیب به سوی باختر فشرده می‌شود. صفحه آفریقا نیز در این ناحیه با حرکت به سوی شمال باعث فروراش کمانهای هلینک و قبرس می‌گردد. صفحه آناتولی در بخش خاوری خود به پهنه گسلی آناتولی خاوری، در بخش شمالی به پهنه گسلی آناتولی شمالی (شکل ۱)، در بخش باختری به گسیختگی پیرامون ناحیه اژه و در جنوب به کمانهای هلینک و قبرس محدود می‌شود [۱]. ناحیه زلزله زده ایزمیت در بخش شمال باختری فلات آناتولی و در پهنه گسله آناتولی شمالی

شکل (۱): گسلهای اصلی در پهنه صفحه آناتولی در کشور ترکیه [۲]

واقع شده است. در این ناحیه، دگر شکلی مربوط به سیستم کششی خمیدگی پشتی (*Back Arc*) اژه و گسل آناتولی شمالی مربوط است [۳]. به نظر می‌رسد که این گسل در حدود 10 میلیون سال قبل در خاور ترکیه بر اثر برخورد صفحه‌های عربی و اوراسیا شکل گرفته است. پهنه گسلی آناتولی شمالی در سالهای ۱۹۳۹ تا ۱۹۹۹، بار خداد زمین لرزه‌هایی با $M > 7$ ، 90 کیلومتر گسیختگی سطحی داشته است [۴]. زمین لرزه سالهای ۱۹۴۴، ۱۹۵۷ و ۱۹۶۷ بر روی بخش‌هایی از گسل آناتولی و در نزدیکی پهنه زلزله زده ایزمیت (۱۹۹۹) رخداده اند (شکل ۲). هنگامی که گسل آناتولی شمالی با محیط کششی اژه تداخل می‌کند، به دوشاخه اصلی تقسیم می‌شود. هر شاخه از این پهنه گسله از گسلهای آن-اشلان

شکل (۲): سازوکارهای ژرفی و گسیختگی‌های زمین لرزه‌ای در باختر ترکیه و ناحیه دریای اژه [۴]

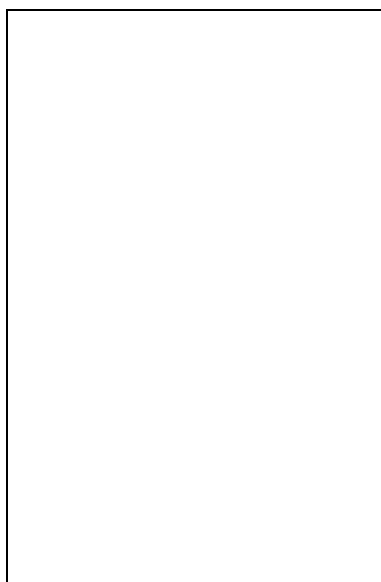
۳- گسیختگی سطحی گسل زمین لرزه ای گولجوک در زمین لرزه ۱۲ آوت ۱۹۹۹

گسیختگی سطحی گسل زمین لرزه ای در زلزله ۱۷ آوت ۱۹۹۹ گولجوک در ناحیه خلیج ایزمیت به طول حدود ۱۲۵ کیلومتر از شمال هرسک نزدیک یالوا (*Yalova*) در ناحیه خلیج ایزمیت در باختر تا دشت دوزجه در خاور مشاهده شده است. موقعیت این گسیختگی در شکل (۳) با راستای متغیر از N88W تا N69E [۹] و میزان تغییر مکان بر روی این گسل در شکل (۴) مشخص شده است. شکل مذکور نشان می دهد که مقادرهای جا به جایی امتداد غز راستگرد و تغییر مکان قائم از حدود ۱۰ سانتیمتر تا بیش از چهار متر می باشد و

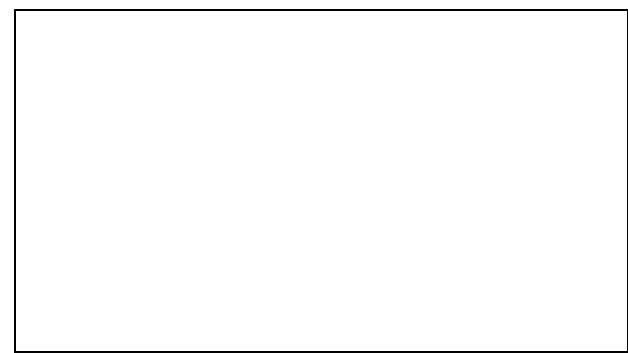
شکل (۵): تغییر مکان افقی بیش از دو متر در نزدیکی ایزمیت در راستای گسل زمین لرزه ای (عکس از گروه اعزامی پژوهشگاه)



شکل (۴): موقعیت گسیختگی سطحی گسل زمین لرزه ای زمین لرزه گولجوک ناحیه خلیج ایزمیت که در راستای پنهان گسله آناطولی شمالی واقع است [۹]



شکل (۶): گسیختگی زمین در نزدیکی خلیج ایزمیت در راستای گسل زمین لرزه [۱۱]



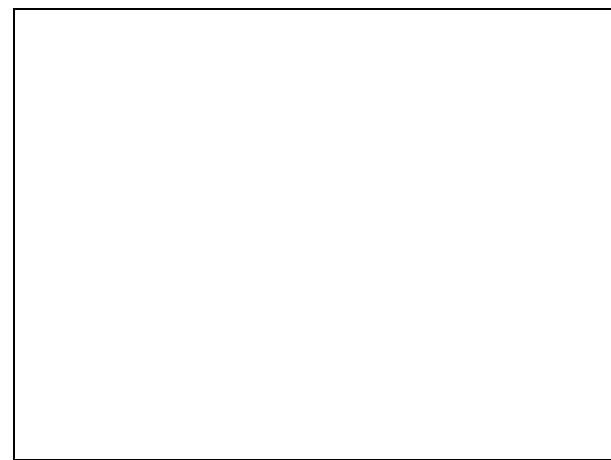
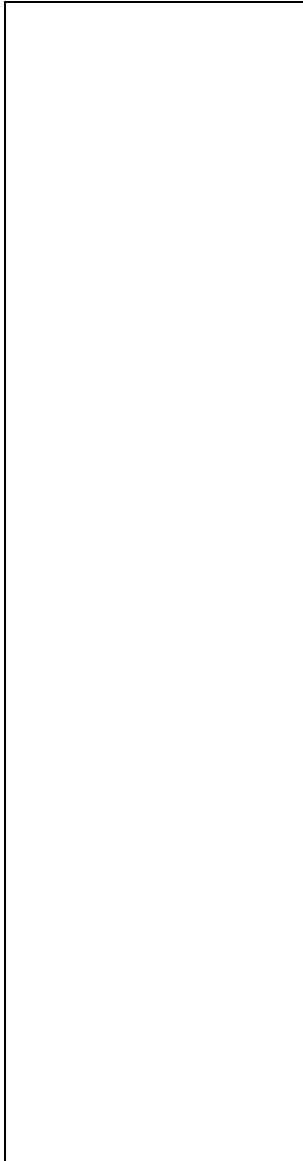
شکل (۷): مقادرهای تغییر مکانهای راستالغز راستگرد (اعداد به متر) و تغییر مکان قائم (به متر) مشخص شده است [۱۰]

جا به جایی قائم بیش از دو متر نیز قابل توجه است. نمونه هایی از تغییر مکانهای افقی و قائم در راستای گسل زمین لرزه ای گولجوک (شکل ۷) در شکلهای (۵ تا ۱۱)، نشان داده شده است. در این شکلها ترکیبی از جا به جایی افقی راستالغز راستگرد و قائم مشاهده می گردد. البته نکته جالب توجه این است که در محل گسیختگی گسل (شکل ۵) سازه های پیرامون آن آسیب مهمی ندیده اند بجز پلی که در نزدیکی این گسل در بزرگراه ایزمیت فرو ریخت (شکل ۱۱) و موجب در هم کوییدن اتوبوسی شد که درست در همان لحظه در حال عبور از

زیر پل بوده است. در بیشتر این شکلها دیده می شود که درست در محل گسیختگی اصلی، در صورتی که سازه دارای حداقل استحکام باشد، عمدها خسارت مهمی به سازه های پیرامون گسیختگی اصلی وارد نشده است.

گسیختگی سطحی، تقریباً بر راستای شاخه ای از سیستم گسل آناتولی شمالی در این ناحیه منطبق است و در بعضی مکانها تا حدود ۴۰ تا ۵۰ متر از محل شاخه گسل روی نقشه فاصله می‌گیرد. راستای گسل از درینس (Derince)، کاراموسل (Karamusel) (Derince)، گولجوک، دیرمندره (Deoirmendere)، کولار (Kollar)، ساری تپه (Saritepe)، تپه تارلا (Tepetarla)، آجی سو (Acisu)، عارفیه (Arefiye)، تورکجی‌بای‌پایی (Kadikoy)، کامیسپلی (Kamispli) (Turkcybapi)، کادی کوی (Kamispli)، کازانچی (Kazancı)، آکیازی-سیفلر (Akyazi-Seyfeler)، افچیملر (Efçimler)، کاپاناچا (Kapanaca) و گولیاکا (Golyaka) در

شکل (۷): گسیختگی زمین و ایجاد ترکهای کششی و عرضی در راستای گسل زمین لرزه در ناحیه خلیج اینزمیت [۱۱]



شکل (۸): تغییر مکان قائم در راستای گسل زمین لرزه ای ۱۷ اوت ۱۹۹۹ در شرق گولجوک (عکس از گروه اعزامی پژوهشگاه)



شکل (۹): گسیختگی یک درخت بر اثر تغییر مکان افقی در راستای گسل گولجوک (عکس از گروه اعزامی پژوهشگاه)

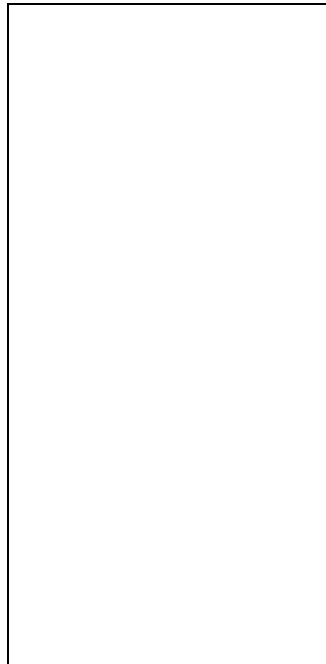
شکل (۱۰): تغییر مکان افقی در راستای خط راه آهن سراسری ترکیه [پایگاه خبرسازی خبرگزاری آناتولی در شبکه اینترنت، اصل عکس در روزهای اول پس از زلزله، هواپی تهیه شده و در مطبوعات ترکیه منتشر شده است]

میانگین تغییر مکان راستالغزر استگرد و قائم در این رویداد به ترتیب حدود ۲/۵ و حدود یک متر بوده است. یک مؤلفه شب لغز کوچک نیز در بخش خاوری راستای گسل گزارش شده است. راستای

در این صورت می‌توان فرض کرد که پهنه گسیخته شده گسل ۱۵۰۰ کیلومتر مربع وسعت داشته باشد.

۴- سازوکار ژرفی لوزه اصلی زمین لرزه ۱۹۹۹ ایزミت

گسلش سطحی به طول حدود ۱۲۰ کیلومتر در بخش جنوبی خلیج ایزミت، با تغییر مکان راستالغز راستگرد در قسمت سوم مورد بحث واقع گردید. با توجه به مدت زمان این زمین لرزه که حدود ۴۵ ثانیه بوده است، احتمال می‌رود گسیختگی زمین لرزه ای آن چند کانه بوده باشد. در این مورد در بخش مریبوط به جنبش شدید زمین توضیح بیشتری داده می‌شود. سازوکار ژرفی زمین لرزه ایزミت در شکل (۱۲) مشاهده می‌شود. در این شکل سازوکار ژرفی راستالغز مشخص است که با توجه به موقعیت پهنه زلزله زده، سازوکار پهنه گسلی آناتولی شمالی و تغییر مکان در راستای گسیختگی سطحی راستای خاوری - باختری و با سازوکار راستالغز راستگرد به عنوان صفحه گسل معرفی می‌گردد. بر اساس این حل، سازوکار ژرفی گشتاور لرزه $N/M = 7.4 \times 10^{20}$ و $M_w = 7.4$ محاسبه شده است. صفحه گسل نیز دارای مشخصات $NE - NE$ $N91.76N$ می‌باشد.



شکل (۱۲): سازوکار ژرفی زمین لرزه ایزミت [۱۱]

۵- ویژگیهای زلزله شناختی و شکل موج در زمین لرزه ۱۷ اوت ۱۹۹۹

زلزله ۱۷ اوت ۱۹۹۹ در ساعت ۱۳:۳۹ به وقت بین المللی و

شکل (۱۱): تغییر مکان افقی و قائم ایجاد شده در راستای بزرگراه کنار خلیج ایزミت که جایی راستالغز راستگرد در آن به طور کامل مشخص است [۱۱]

بulo عبور می‌کند. با ایجاد یک ترانشه باریک، ژرفای ۲۰۰ متری راستای گسل پس از ورود به بخش جنوب خاوری خلیج ایزミت دنبال شده است. این ترانشه به ساحل جنوبی خلیج ایزミت قابل مشاهده می‌باشد. گسیختگی سطحی در بخش ساحلی دیرمندره نیز وجود دارد. در بخش باختری گسیختگی به هرسک می‌رسد؛ ولی، در دلتای هرسک هیچ گونه گسیختگی سطحی ایجاد نکرده است. داده‌های ژرافاستنجی (Bathymetric) نشان می‌دهد که گسیختگی، درست در باختر ساحل دلتای هرسک به پایان می‌رسد. در بخش باختری دلتای هرسک نیز احتمالاً گسیختگی وجود دارد [۹]. قطعه گولجوک که به نظر می‌رسد قطعه اصلی گسیختگی گسله در زمین لرزه ۱۷ اوت ۱۹۹۹ باشد، طولی حدود ۱۱۰ کیلومتر را دارد. راستای عمومی این قطعه حدود N82W تا N88W (تقرباً خاوری - باختری) می‌باشد. به سمت خاور، قطعه بعدی گسیختگی که به صورت آن - اشلان نسبت به گسیختگی گولجوک قرار دارد، از نزدیکی روستای کپانچا آغاز می‌شود و با راستای E68-70N به سوی روستای کولیاکا در باختر دشت دوزجه ادامه مسیر می‌دهد (شکل ۳). تغییر مکان امتداد لغز در کپانچا حدود ۸۰ سانتیمتر بوده است. در کپانچی در نزدیکی دره رودخانه مودورنو تغییر مکان ییش از ۱۵ سانتیمتر قابل مشاهده نیست. نهشته های سطحی عهد حاضر (هولوسن) می‌تواند به عنوان دلیل کمتر مشاهده شدن تغییر مکانها در راستای گسل در نظر گرفته شود. در خاور کپانچا گسل تغییر مکان شیب لغز در راستای گسل قابل مشاهده است، به نحوی که سوی شمال گسل نسبت به سوی جنوبی آن به پایین افتاده است. در این ناحیه، ژرفای لایه لرزه زا (Seimogenic Layer) حدود ۱۲ کیلومتر در نظر گرفته می‌شود.

۳:۰ به وقت محلی رخ داد. رصدخانه کاندیدلی دانشگاه بوغازیچی استانبول بزرگای زلزله ایزمیت را در مقیاس امواج سطحی و امواج حجمی به ترتیب $7/8$ و $6/3$ گزارش نمود. رومرکز دستگاهی این زلزله در جنوب خلیج ایزمیت (نژدیک گولجوک) تعیین شده است (مختصات $40.702 N$ و $29.987 E$).

کشتاور این زلزله بر اساس گزارش $USGS$ $1.4 \times 10^{20} N/M$ محاسبه شد و بر این اساس نماد بزرگای آن در مقیاس جهانی، $M_w = 7.4$ می باشد. ژرفای این زلزله ۱۷ کیلومتر محاسبه شده است. شکل موج ثبت شده در ایستگاه پژوهشگاه بین المللی زلزله شناسی و مهندسی زلزله (تهران) در شکل (۱۳) مشاهده می شود. فازهای مختلف بر روی شکل مذکور مشخص است (برای تفسیر بیشتر درمورد مورد این نگاشت به مرجع [۶] مراجعه شود).

شکل (۱۴): توزیع پس لرزه ها با بزرگای از ۱ تا ۵ در پیرامون پهنه زلزله زده ایزمیت نقل از مرکز پژوهشی توپیتاك مرمره [۱۲]

روزهای ۱۳ سپتامبر ۱۹۹۹ و ۵ اکتبر ۱۹۹۹، جدول (۱). شایان توجه است که پس لرزه ها در دو سوی گسل زمین لرزه ای توزیعی نسبتاً متوازن دارند که احتمالاً می تواند نمایانگر قائم یا نزدیک به قائم بودن صفحه گسل باشد. نکته دیگر نیز این است که توزیع پس لرزه در دو ماه پس از زمین لرزه در دو سوی خاوری و باختり گسل تقریباً متوازن و برابر است و این موضوع می تواند، احتمالاً نمایانگر جهت پذیری دو طرفه (Bilaterel Directivity) بر اثر فعالیت گسیختگی اصلی در زمین لرزه ۱۷ اوت ۱۹۹۹ باشد. در این مورد و با استفاده از شواهد موجود در مورد داده های جنبش شدید زمین در قسمت هفتم و هشتم مقاله توضیح بیشتری داده شده است. ریزنبرگ و جوائز وقوع پس لرزه های مهم با بزرگاهای بیش از ۶ و ۷ را از ۱۶ سپتامبر ۱۹۹۹ در سه فاصله زمانی یک هفته ای، یک ماهه و شش ماهه از ۱۶ سپتامبر تا ۲۳ سپتامبر ۱۹۹۹، از ۱۶ سپتامبر تا ۱۶ اکتبر ۱۹۹۹ و از ۱۶ سپتامبر ۱۹۹۹ تا ۱۶ مارس ۲۰۰۰ بر اساس مراجع [۱۳] و [۱۴] مدل کرده اند و نتایج، در جدول (۲) نشان داده شده است. بر اساس این جدول تا یک دوره زمانی شش ماهه، احتمال وقوع یک پس لرزه با $M > 6$ حدود ۴۰٪ می باشد.

۷- بررسی شدت زمین لوزه

شدت زمین لرزه ایزمیت بر اساس بازدیدهای محلی X^+ در مقیاس MSK تخمین زده شده است. بر اساس نقشه هم شدت این زمین لرزه، امتداد خمها هم شدت راستای پهنه گسیختگی گسل آناتولی شمالی به صورت خاوری- باختり کشیدگی واضحی نشان می دهد (شکل ۱۵).

شکل (۱۵): نگاشت به دست آمده در ایستگاه پژوهشگاه بین المللی زلزله شناسی و مهندسی زلزله (فرمانیه- تهران) فازهای مختلف بر روی شکل مشخص شده است [۶]

۶- بررسی پس لرزه ها

بررسی موقعیت پس لرزه ها در پهنه رومرکزی زمین لرزه کوچائلی نشان می دهد که اکثر رویدادهای پس لرزه ها بر روی قطعه گسیختگی جدید گسل آناتولی شمالی پراکنده شده اند و تقریباً در هر دو سوی گسیختگی (خاور و باختر آن) تمرکز رومرکز پس لرزه ها مشاهده می گردد (شکل ۱۴). چنین توزیعی احتمالاً نمایانگر این است که گسیختگی در چندین محل مختلف در صفحه گسل در زمانهای مختلف با آزاد کردن انرژی در حال بازگشت به حالت تعادلی بوده اند. وقوع پس لرزه هایی با بزرگای ۵ تا ۶ پس از زمین لرزه ۱۷ اوت ۱۹۹۹ با بزرگای $M_w = 7.4$ نیز منطقی به نظر می رسد (پس لرزه های

به شکل (۱۵) این است که کاهندگی شدت زمین لرزه در جهت عمود بر کسل (در راستای شمالی-جنوبی) سریعتر از راستای موازی کسل (جهت خاوری- باختری) به نظر می رسد که به این ترتیب احتمال وقوع یک جهت پذیری دو طرفه در راستای کسل تقویت می گردد (این مسئله با محل وقوع پس لرزه ها مورد بحث واقع شد و در قسمت هشتم نیز با بهره گیری از داده های جنبش شدید مجدداً بررسی می شود).

ذکر این نکته مهم است که پهنه باشدت $VIII^+$ به ناحیه ای با وسعت حدود ۱۴۰ کیلومتر در راستای خاوری-باختری و ۸۰ کیلومتر در راستای شمالی-جنوبی محدود می گردد. بیشینه شدت زمین لرزه در استانبول $VIII^+$ بود؛ ولی، در بعضی از محله های آن (نظیر آوچیلر که به دلیل اثر خاک دچار تشدید و تخریب وسیع ولی موضعی گردید) شدت حدود $MSK IX-X$ نیز قابل تخمین می باشد. شدت در آنکارا VI^+ و در بورسا VII^+ تخمین زده می شود. از نکته های جالب دیگر با توجه

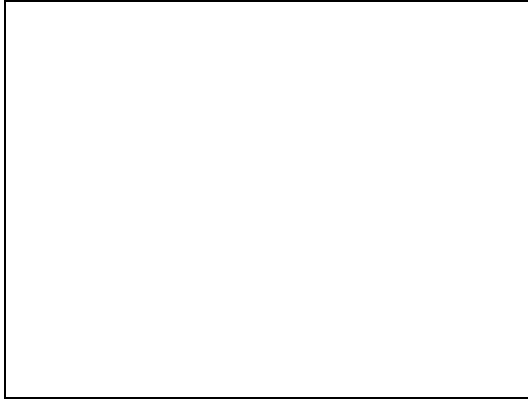
جدول (۱): فهرست پس لرزه های ثبت شده توسط رصدخانه کاندیلی از لرزه اصلی در ۱۷ اوت ۱۹۹۹ تا ۵ اکتبر ۱۹۹۹ (به ترتیب از جدید به قدیم)
فهرست شده اند)

بزرگا	ژرفای (کیلومتر)	مختصات رومگز	زمان (CMT)	تاریخ
۳/۱ D	۱۹/۵	۲۹/۱۶ E	۳۷/۷۹ N	۱۷:۲۱:۰۳ ۱۹۹۹/۱۰/۰۵
۴/۲ D	۱۱/۴	۲۸/۰۷ E	۳۶/۹۴ N	۰۱:۰۵:۱۱ ۱۹۹۹/۱۰/۰۵
۵/۲ D	۲۲/۶	۲۸/۱۴ E	۳۶/۸۰ N	۰۰:۵۲:۲۲ ۱۹۹۹/۱۰/۰۵
۴/۹ D	۱۸/۹	۲۹/۲۶ E	۴۰/۷۱ N	۰۰:۱۲:۱۹ ۱۹۹۹/۰۹/۲۹
۴/۱ D	۹/۰	۲۷/۹۲ E	۳۹/۰۲ N	۰۶:۳۹:۱۱ ۱۹۹۹/۰۹/۲۶
۴/۱ D	۹/۰	۲۷/۸۲ E	۳۹/۰۹ N	۰۶:۳۹:۰۲ ۱۹۹۹/۰۹/۲۶
۳/۶ D	۱۳/۴	۲۷/۲۸ E	۳۷/۶۹ N	۲۱:۱۱:۵۱ ۱۹۹۹/۰۹/۲۵
۴/۵ D	۱۶/۲	۳۸/۵۲ E	۳۷/۵۱ N	۱۹:۰۸:۲۳ ۱۹۹۹/۰۹/۲۴
۴/۱ D	۲/۲	۳۰/۲۳ E	۴۰/۷۷ N	۱۳:۴۵:۱۲ ۱۹۹۹/۰۹/۲۴
۳/۸ D	۳/۱	۳۰/۵۴ E	۴۰/۵۹ N	۰۵:۰۲:۲۰ ۱۹۹۹/۰۹/۲۲
۳/۵ D	۶/۷	۳۰/۴۶ E	۴۰/۷۴ N	۰۳:۱۹:۰۲ ۱۹۹۹/۰۹/۲۲
۵/۰ D	۱۶/۴	۲۷/۵۸ E	۴۰/۶۹ N	۲۱:۲۸:۴۶ ۱۹۹۹/۰۹/۲۰
۴/۳ D	۶/۵	۳۰/۴۹ E	۴۰/۷۰ N	۲۰:۲۶:۵۶ ۱۹۹۹/۰۹/۱۹
۴/۶ D	۱۴/۴	۲۹/۱۲ E	۴۰/۶۰ N	۰۰:۴۸:۳۶ ۱۹۹۹/۰۹/۱۸
۳/۵ D	۱۲/۴	۳۰/۷۴ E	۴۰/۶۵ N	۱۸:۳۶:۴۸ ۱۹۹۹/۰۹/۱۶
۳/۲ D	۱۷/۰	۲۹/۹۵ E	۴۰/۷۴ N	۰۱:۲۷:۱۵ ۱۹۹۹/۰۹/۱۶
۵/۷ D	۴/۳	۳۰/۰۳ E	۴۰/۸۰ N	۱۱:۰۵:۴۶ ۱۹۹۹/۰۹/۱۳
۲/۹ D	۵/۰	۲۸/۷۴ E	۳۷/۶۸ N	۱۲:۳۸:۴۲ ۱۹۹۹/۰۹/۱۱
۴/۶ D	۲۴/۴	۲۴/۴۶ E	۴۰/۴۷ N	۰۸:۱۵:۴۸ ۱۹۹۹/۰۹/۰۹
۴/۲ D	۲۱/۱	۲۵/۵۱ E	۴۰/۳۱ N	۰۸:۱۲:۱۷ ۱۹۹۹/۰۹/۰۹
۳/۰ D	۹/۵	۳۰/۵۷ E	۴۰/۸۳ N	۰۴:۰۳:۱۱ ۱۹۹۹/۰۹/۰۱
۴/۳ D	۱۰/۶	۴۰/۱۰ E	۳۹/۱۴ N	۱۱:۱۲:۵۶ ۱۹۹۹/۰۸/۲۲
۶/۷ D	۱۸/۰	۲۹/۶۰ E	۴۰/۷۵ N	۰۰:۰۱:۵۴ ۱۹۹۹/۰۸/۱۷

جدول (۲): محاسبه احتمال وقوع پس لرزه ها در دوره های زمانی یک هفته، یک ماهه و شش ماهه پس از ۱۶ سپتامبر ۱۹۹۹ [۱۱]

فاصله زمانی	احتمال رویداد پس لرزه با بزرگای بیش از ۶	احتمال رویداد پس لرزه با بزرگای بیش از ۷
۱۶ سپتامبر ۱۹۹۹ تا ۲۳ سپتامبر ۱۹۹۹	کمتر از ۱۰٪	کمتر از ۱۰٪
۱۶ سپتامبر ۱۹۹۹ تا ۱۶ اکتبر ۱۹۹۹	حدود ۷۲۰	حدود ۷۲۰
۱۶ سپتامبر ۱۹۹۹ تا ۱۶ مارس ۲۰۰۰	حدود ۷۴۰	حدود ۷۴۰

جدول (۳) نشان داده شده اند. محل بعضی از این ایستگاهها که در شهر استانبول واقعند ایستگاههای فاتیح، یاپی و آتاکوی در شکل (۱۷) مشخص شده اند. جدول مذکور حاوی داده های کاملاً از موقعیت هر محل، فاصله آن تا رومرکز دستگاهی، فاصله از گسیختگی سطحی زمین لرزه ای، باندهای فرکانسی مربوط و گذر پایین و گذر بالا که توسط نگارنده برای فیلتر کردن و تصحیح نگاشتها به کار رفته است و در نهایت مقدارهای بیشینه شتاب، سرعت و تغییر مکان در محلهای مختلف به همراه طول زمانی نگاشت و بیشینه شدت در محل مشخص می باشد.



شکل (۱۷): محل بعضی از ایستگاههای شتابنگاری که به هنگام نگارش این گزارش نگاشت آنها از شهر استانبول در دسترس بوده در شکل مشخص است پاییز کردی پلازا و مقبره فاتیح [۱۲ و ۲]

نگاشتها دیگری نیز مربوط به پنهنه رومرکزی در این زمین لرزه به دست آمده است که تا زمان آماده سازی این مقاله داده های رقمی آنها از طریق شبکه جهان بین در دسترس نبوده، بنابراین امکان تحلیل و بررسی آنها در مقاله حاضر وجود نداشته است. مقدارهای بیشینه شتاب در محلهای مختلف در جدول (۳) و در سایر محلها که داده های آنها در دسترس نبوده، در شکل (۱۸) آمده است. در این شکل مشخص می باشد که مقدارهای بیشینه شتاب در دو سوی خاوری و باختری گسل کمتر کاهنده شده است (نسبت به جهت عمود بر گسل که ظاهراً سریعتر کاهنده شده است).



شکل (۱۸): مقدارهای بیشینه شتاب در محلهای مختلف پنهنه رومرکزی (اعداد به درصد ۸ می باشد) [۱۲ و ۲]

۸- بررسی، پردازش و تحلیل مقدماتی داده های جنبش شدید زمین

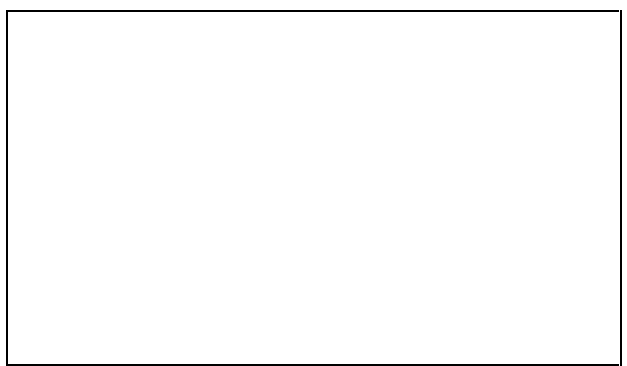
داده های جنبش شدید زمین در کشور ترکیه از سال ۱۹۷۳ با نصب اولین دستگاه شتابنگاری آنالوگ (SMA-1) برداشت شده است. البته با وجود ۱۱۹ ایستگاه شتابنگاری که اکثر آنها رقمی هستند تا پایان اکتبر ۱۹۹۹ داده های شتابنگاری ثبت و از طریق شبکه جهان بین (اینترنت) به صورت آزاد در اختیار همگان قرار داده شده است. داده هایی که به این طریق در دسترس است به صورت اصلاح نشده می باشد و پردازش آنها ضروری است (برای دستیابی به این داده ها می توان به نشانی پایگاه داده های شتابنگاری کشور ترکیه در شبکه جهان بین <http://angora.deprem.gov.tr/> مراجعه نمود).

در بررسیهای حاضر برای مطالعه جنبش شدید زمین، با جستجو در پایگاه داده های یاد شده و پایگاه رصدخانه کاندیلی



شکل (۱۹): نقشه هم شدت زمین لرزه ۱۷ اوت ۱۹۹۹ گولبازک (خلیج ایزmit) تقلیل با اصلاح از [۱۲]

(دانشگاه بوقازیچی) در شبکه جهان بین، تعداد ۱۰ نگاشت مربوط به زلزله اصلی به دست آمد که محلهای آنها با حروف اختصاری سه حرفی در شکل (۱۶) مشخص است. این ایستگاهها که در شبکه استانبول و منطقه مرمره واقعند با نام کامل و با مشخصات مربوط به هر محل در



شکل (۱۶): محل ایستگاههای شتابنگاری بررسی شده مربوط به شبکه استانبول و منطقه مرمره [۱۲]

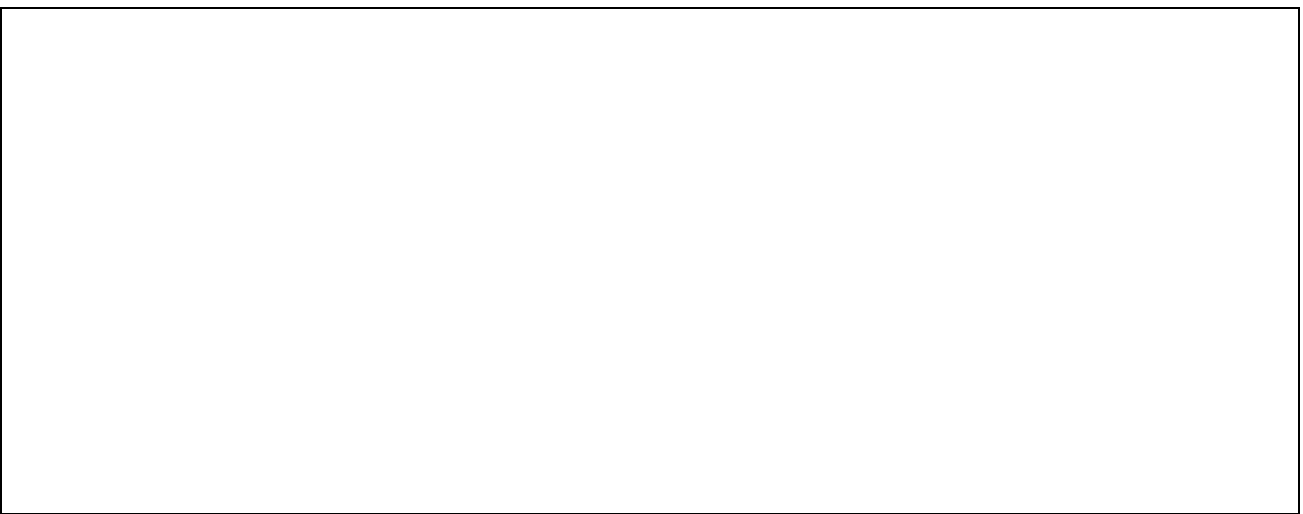
این شکلها نشان می دهند که محتوای فرکانسی غالباً برای جنبش شدید زمین در زمین لرزه ایزومیت در حدود ۰/۱ تا ۴ هرتز در نگاشتهای مختلف قابل مشاهده بوده است. بیشینه شتاب چندان زیاد نبوده و در حوزه تزدیک گسل مقدارهای آن نسبت به آنچه که ممکن است در چین زمین لرزه ای در ایران رخ دهد (با توجه به نگاشتهای به دست آمده از زلزله های ۱۳۵۷ طبس و ۱۳۶۹ منجیل) پایین تر بوده است. کاهندگی جنبش شدید زمین در زلزله گلジョک بر اساس مقدارهای بیشینه شتاب (جدول ۳) در شکل (۳۰) ارائه شده است. در این شکل مدلهای کاهندگی توسعه داده شده برای ایران در ناحیه زاگرس و مدل توسعه داده شده برای کل کشور [۱۵] با در نظر گرفتن $M_w = 7.0$ برای فاصله های مختلف و همچنین مدلهای استوا زمین لرزه ای در همین شکل آمده است. مقدارهای بیشینه شتاب در زمین لرزه ۱۹۹۹ ترکیه بر روی شکل مذکور مشخص شده و دو خط رگرسیون برای مؤلفه های شمالی-جنوبی و خاوری-باختり جنبش در این شکل مشخص شده است. واضح است که مقدارهای بیشینه شتاب حتی نسبت به زمین لرزه ای با $M=7$ برای مدلهای مختلف قبلی (و مدل ایران) و مقدارهایی پایین تر از تخمین با مدلهای تجربی به دست می دهد. با توجه به رگرسیونهای صورت گرفته برای مؤلفه های خاوری-باختری (موازی گسل) و شمالی-جنوبی (عمود بر گسل) مشخص است که کاهندگی در راستای موازی گسل آرامتر از روند عمود بر گسل بوده است که این امر می تواند نمایانگر جهت پذیری دو طرفه در راستای گسل باشد.

این مسأله احتمالاً مؤید دیگری بر مسأله جهت پذیری دو طرفه است که در قسمتهای ششم و هفتم این مقاله با استفاده از موقعیت پس لرزه ها و موقعیت خمهای هم شدت مورد بحث واقع شدند. داده های ارائه شده در جدول (۳) بر اساس پردازش ده شتابنگاشت به دست آمده از تکان اصلی بوده است. نگاشتهای شتاب، سرعت و تغییر مکان تصحیح شده توسط نگارنده برای این ده نگاشت در شکلهای (۲۸ تا ۱۹) و مشخصات دستگاهها در شکل (۲۹) آمده است. باندهای فرکانسی برای تصحیح این نگاشتها به کار رفته، همان گونه که در جدول (۳) و در بالای هر شکل ارائه شده است. مؤلفه های افقی شمالی-جنوبی و خاوری-باختری به ترتیب با حروف الف و پ و مؤلفه قائم با حرف ب مشخص است. در ایستگاه CNA که در فاصله ۱۸ کیلومتری از گسل واقع است (شکل ۱۹)، حذف دامنه های پریود کوتاه در مؤلفه های افقی (فرکانس بالا که بر روی مؤلفه قائم مشخص است) احتمالاً نمایانگر مسأله جهت پذیری است. این نکته موجب تشدید روى طيف H/V در فرکانسهای کوتاه (پریود بلند) خواهد گردید. این حالت در مورد نگاشت یاریمجا (YPT) در شکل (۲۸)، که در فاصله ۱۰ کیلومتری از کسیختگی سطحی واقع است، کاملاً مشخص می باشد و بر روی مؤلفه های افقی با حذف دامنه های پریود کوتاهی که در حدود ۱/۰ ثانیه است بر روی مؤلفه قائم مشخص است. این مسأله احتمالاً نمایانگر جهت پذیری بر اثر حرکت جبهه کسیختگی بوده است. نکه دیگر مشاهده پریودهای غالباً در حدود ۰/۴ تا ۰/۶ ثانیه است که در اکثر طیفها (شکلهای ۱۹ تا ۲۸) مشاهده می شوند.

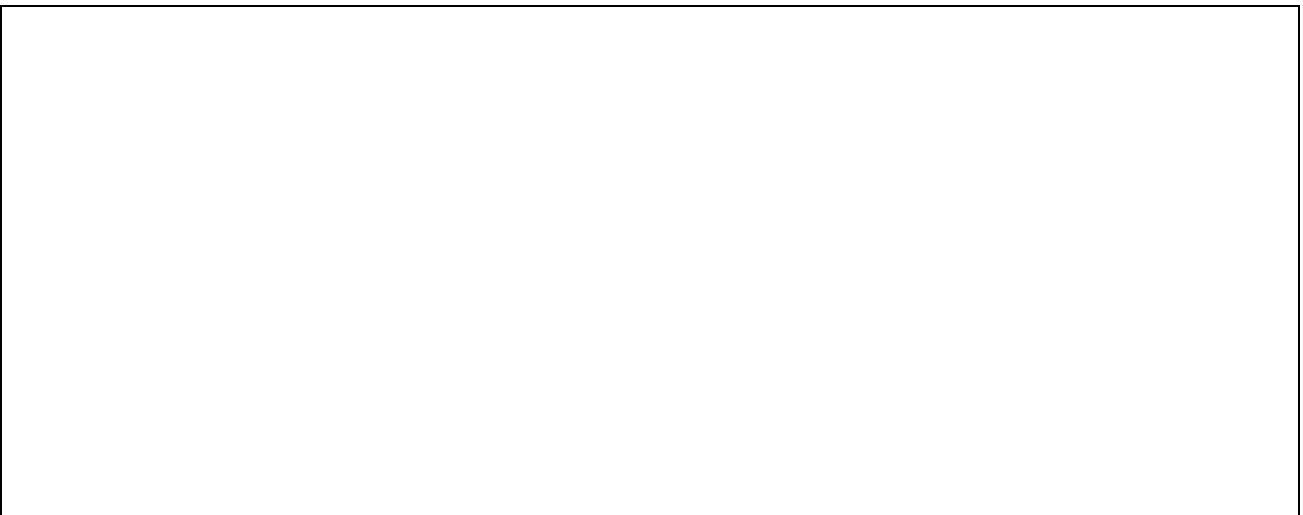
شکل (۱۹): شتابنگاشت به دست آمده در آرچلیک پس از پردازش و ترسیم طیف شبیه سرعت



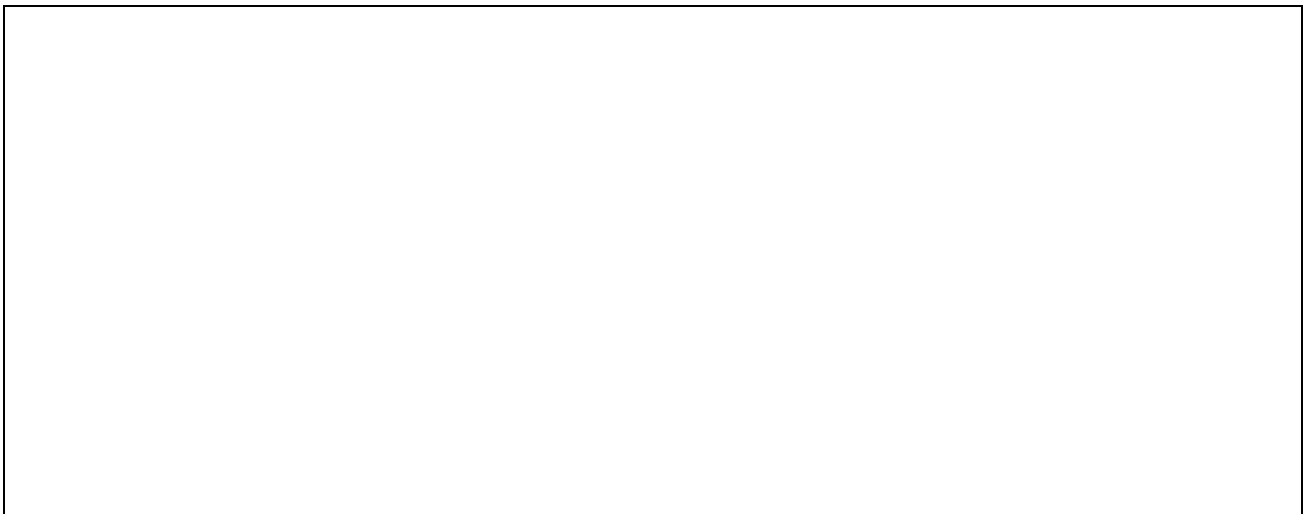
شکل (۴۰): شتابنگاشت به دست آمده در نیروگاه حرارتی آمبارلیک پس از پردازش و ترسیم طیف شبه سرعت



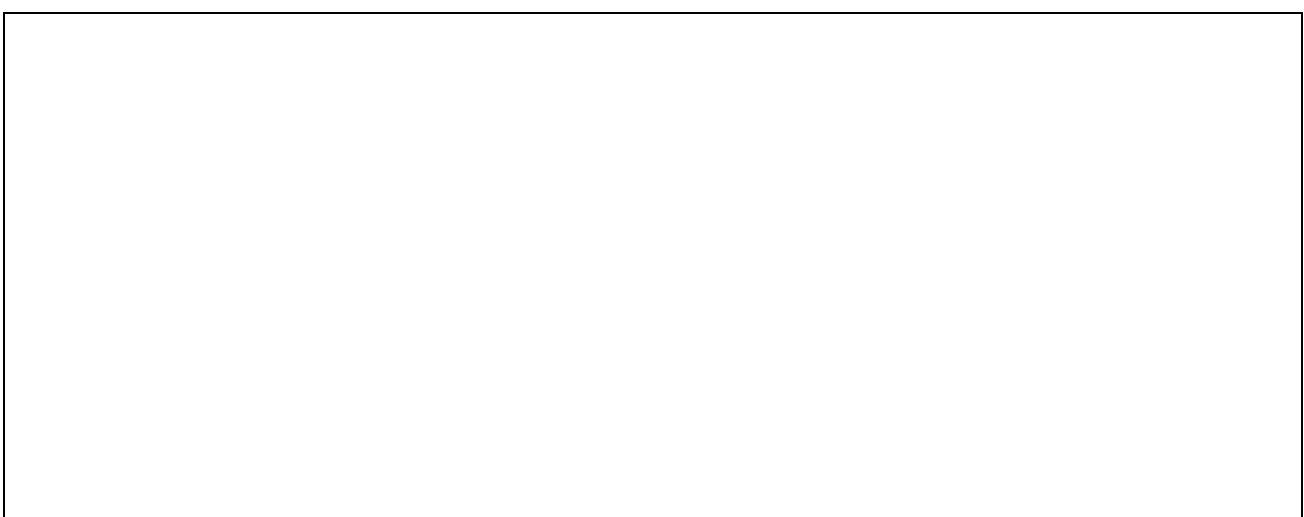
شکل (۴۱): شتابنگاشت به دست آمده در پالایشگاه بوتاش پس از پردازش و ترسیم طیف شبه سرعت



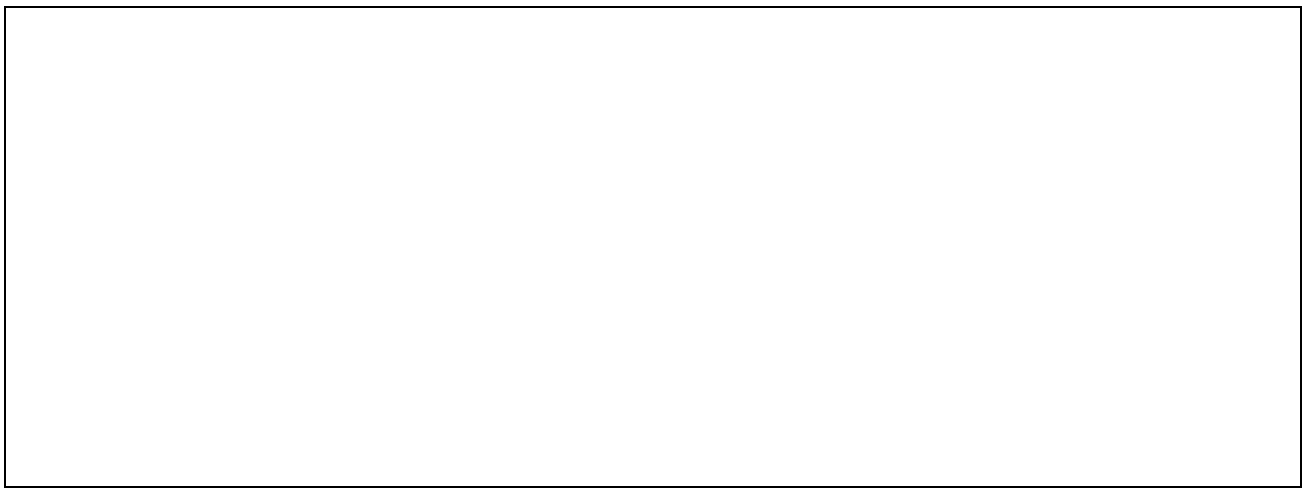
شکل (۴۲): شتابنگاشت به دست آمده در بورسا پس از پردازش و ترسیم طیف شبه سرعت



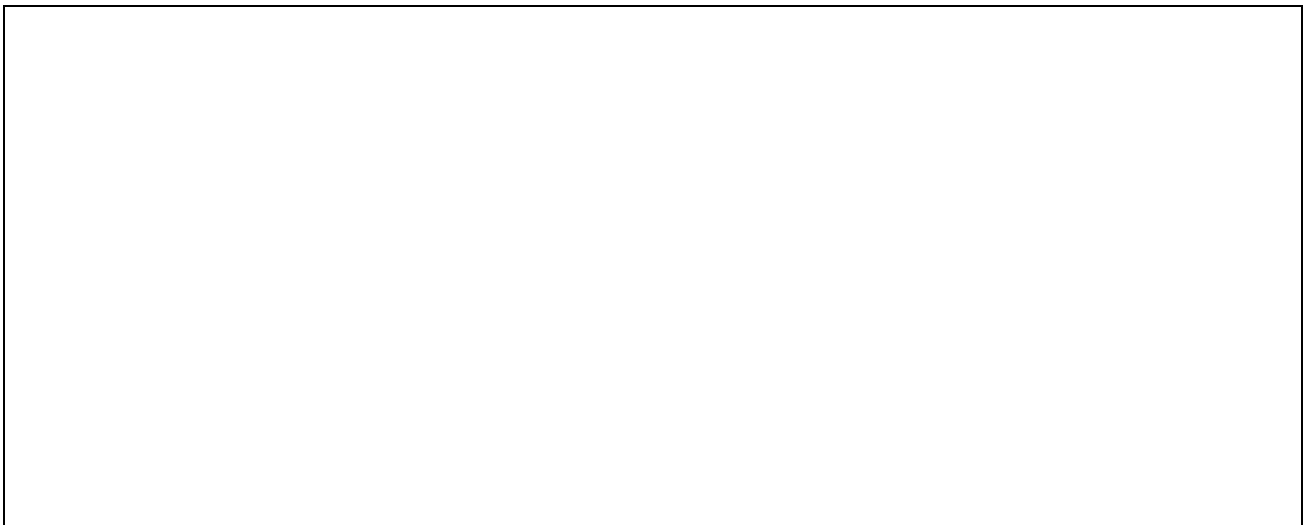
شکل (۲۳): شتابنگاشت به دست آمده در مرکز تحقیقات هسته‌ای چکمک پس از پردازش و ترسیم طیف شبه سرعت



شکل (۲۴): شتابنگاشت به دست آمده در فرودگاه DHM پس از پردازش و ترسیم طیف شبه سرعت



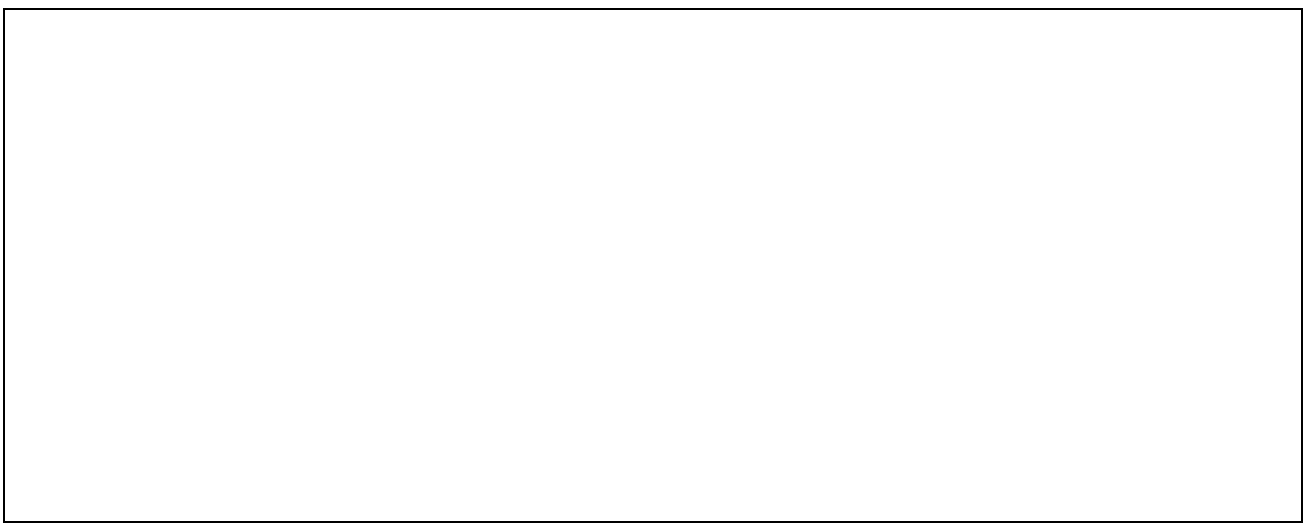
شکل (۲۵): شتابنگاشت به دست آمده در گنبد فاتح استانبول پس از پردازش و ترسیم طیف شبه سرعت



شکل (۲۶): شتابنگاشت به دست آمده در بیمارستان هیبلیدا پس از پردازش و ترسیم طیف شبه سرعت



شکل (۲۷): شتابنگاشت به دست آمده در ایستگاه یاپی کردی (YKP) استانبول پس از پردازش و ترسیم طیف شبه سرعت



شکل (۲۸): شتابنگاشت به دست آمده در یاریمجا در ۱۰ کیلومتر گسیختگی گسله پس از پردازش و ترسیم طیف شبه سرعت

- این زمین لرزه با کسیختگی سطحی حدود ۱۲۵ کیلومتر، از موردهای نادر در جهان می باشد. چنین کسیختگی سطحی در زلزله های قاره ای با بزرگای حدود $7/4$ معمولاً کمتر گزارش می شود (گرچه چنین حالتی در فلات آناتولی غیرطبیعی نبود و قبل از این چنین کسیختگی های طولانی مشاهده شده است).

- این زمین لرزه با بزرگای زیاد و ژرفای کم شباهت زیادی به بعضی از زمین لرزه های ایران داشته است که در پهنه ایران

۹- جمع بندی جنبه های لرزه زمین ساختی، زلزله شناسی و زلزله شناسی مهندسی

ویژگیهای زمین لرزه گولجوك (ایزمیت) از دیدگاه زلزله شناختی و جنبش شدید زمین عبارتند از:

- زمین لرزه مذکور پایان یک نبود لرزه ای در بخش شناخته شده ای از راستای گسل آناتولی شمالی بود. این زلزله ها با آزاد شدن انرژی به صورت خوش (Cluster) در محل این نبود، همراه بوده است.

علامت اختصاری روی نقشه	BTS	ATS	CNA	YKP	HAS	DAR	YPT	BUR (TOF)	ARC
مکان	بوتاش	نیروگاه حرارتی آمبارلى	کوجوک چکمه	یابی کردی پلازا	ایستگاه هیلیدا (بیمارستان)	اصلان چیمنتو	یاریمچاپتکیم	کارخانه توفاش (بورسا)	آرچلیک
زمان نصب دستگاه	23-08-1994	28-12-1994	14-08-1994	28-10-1994	14-03-1995	09-08-1996	27-12-1994	10-07-1995	18-03-1995
سodom	آدامودم	U.S رو بوتیکس	U.S رو بوتیکس	آدامودم	U.S رو بوتیکس	U.S رو بوتیکس	U.S رو بوتیکس	آدامودم	U.S رو بوتیکس
بادریت خط	9600	9600	9600	9600	9600	9600	9600	9600	9600
حس گر	SSA-320	SSA-320	SSA-320	SSA-320	SSA-320	SSA-320	SSA-320	SSA-320	SSA-320
حداکثر مقیاس	$\pm 2g$	$\pm 2g$	$\pm 2g$	$\pm 2g$	$\pm 2g$	$\pm 2g$	$\pm 2g$	$\pm 2g$	$\pm 2g$
سمت شمال	+Y	+X	-X	-X	-X	-X	+Y	-X	+X
سمت غرب	-X	+Y	-Y	+Y	-Y	-Y	+X	-Y	+Y
بالا	+Z	+Z	+Z	+Z	+Z	-Z	+Z	-Z	-Z
ثبت کننده	16/FB	16/FB	16/FB	16/FB	16/FB	16/FB	16/FB	16/FB	16/FB
زمین شناسی سطحی	-	سنگ سخت	-	-	سنگ سخت یالشوزوژیک (ماهه سنگ)، کل سنگ و شیل)	-	-	-	-

شکل (۴۹، الف): مشخصات دستگاههای شتابنگاری شبکه استانبول و ناحیه مرمره [۲ و ۱۲]

علامت اختصاری روی نقشه	KMP	GB	FAT	PER	DHM
مکان	کمال مصطفی پاشا	سیرکچی	کنید فاتیح	آکسارای	پشیل کوی
تاریخ نصب دستگاه	27-06-1994	07-10-1994	17-06-1994	19-06-1994	28-04-1994
سطح لاکین	LOGIN 002				
حس گر	SSA-320	SSA-320	SSA-320	SSA-320	SSA-320
حداکثر مقیاس	$\pm 2g$				
سمت شمال	+ Y K	+ X K	- X G	+ X K	- X G
سمت غرب	- X D	- Y B	- Y B	+ Y B	+ Y D
سمت بالا	+ Z Up	- Z Down	- Z Down	+ Z Up	- Z Down
ثبت کننده	16/FB	16/FB	16/FB	16/FB	16/FB
عرض شمالی	$41^{\circ}00'13,8''$	$41^{\circ}01'08,2''$	$41^{\circ}03'13,3''$	$41^{\circ}00'39,7''$	$40^{\circ}58'56,6''$
طول خاوری	$28^{\circ}55'04,2''$	$28^{\circ}58'88,9''$	$28^{\circ}57'00,4''$	$28^{\circ}57'14,5''$	$28^{\circ}49'11,I''$

شکل (۴۹، ب): مشخصات ایستگاههای نصب شده در محدوده استانبول [۲]

مقدماتی است و انشالله در آینده با صرف زمان بیشتر لازم است بررسیهای دقیقتری انجام کردد. برای مطالعات بعدی، تحلیل طیفی جنبش شدید زمین و مطالعه جنبش شدید زمین در زمان پس لرزه ها پیش بینی می گردد.

در پایان یادآوری می شود که زمین لرزه گولجوک نمایانگر خطر بالای زمین لرزه در فلات آناتولی است و اتفاق این زلزله به صورت شاخص مربوط به این پهنه می باشد. از این نظر نیز باید به این زلزله توجه نمود که زلزله یاد شده مربوط به شرایط لرزه زمین ساختی است که شباht فراوانی با شرایط فلات ایران (بیویژه پهنه ایران مرکزی و ناحیه تهران) دارد و از این دیدگاه لازم است در کشور ما، ویژگیهای این زلزله با دقت توسط پژوهشگران تحلیل گردد. باشد که درسهای لازم از آن آموخته شود.

۱۰- مراجع

1-Westaway, R., Present-day Kinematics of the Middle-East and Eastern Mediterranean, J. Geoph. Res., Vol. 99, pp. 12071-12090, 1994.

2-Kaptan, C., The Turkish Approach to Seismic Design, Hydro Powers and Dams, Issue 4, pp. 85-93, 1999.

3-Barka, A A., The North Anatolian Fault Zone, Ann. Tectonicae, Supple. VI, pp. 164-195, 1992.

4-Nalbant, S. S., Hubert, A. and King, G. C. P., Stress Coupling Between Earthquakes in Northwest Turkey and the North Aegean Sea, J. Geoph. Res., Vol. 103. No. B10, pp. 24469-24486, 1998.

5-Straub, C. and Khale, H. G. Active Crustal Defomation in the Sea of Mramara Region, NW Anetolia, Referred From GPS Measurements, Geoph. Res. Lett., Vol. 22, pp. 2533-2536, 1995.

۶-زارع، مهدی؛ اسلامی، علی اکبر؛ فرهید، امیر منصور. دریافت‌های زلزله شناختی از زمین لرزه ۱۷ اوت ۱۹۹۷ ایزیمیت ترکیه، پژوهشنامه پژوهشگاه بین المللی زلزله شناسی و مهندسی زلزله، پاییز ۱۳۷۸

7-Nafi Toksoz, M., Shakal, A. F. and Andrew, J. Michael, Space-time Migration of Earthquake Along the North Anatolian Fault Zone and Seismic Gaps Pageoph, Vol. 117, 1258-1270, 1979.

8-R. S., Stein, Aykut A. Barka and James H Dieterich, Progressive Failure on the North Anatolian Fault Since 1939

مرکزی رخ داده اند. زمین لرزه ۱۳۴۶ دشت بیاض، ۱۳۵۶ طبس، ۱۳۵۸ قائنات و ۱۳۷۶ اردکول از نظر بزرگا، طول گسیختگی سطحی، سازوکار ژرفی و ژرفای کانونی با زمین لرزه گولجوک ۱۹۹۹ شباhtهایی دارند.

- زمین لرزه گولجوک با دوام زیاد جنبش شدید زمین شاخص می گردد. این دوام زیاد نیز نمایانگر شباht دیگری به جنبشهای شدید در پهنه ایران مرکزی است.

- جنبش شدید زمین در این زلزله دارای محتوای فرکانسی نسبتاً پریود بلند بوده است.

- اثرهای جهت یافتنگی دو طرفه در زمین لرزه گولجوک با شاهدهایی مربوط به توزیع پس لرزه ها، شدت زمین لرزه و بیشینه دامنه جنبش شدید زمین در قسمتهای مختلف در پیرامون گسل مشخص شده است. این مسأله مستلزم پژوهش‌های تفصیلی بعدی است.

شکل (۳۰): مدل‌های کاهندگی مختلف و مقدارهای بیشینه شتاب برای زلزله ۱۹۹۹ گولجوک، کوجانلى و مقایسه این مقدارها با مدل‌های ایران [۱۵] استوا ۱۹۷۰، دونرو آن ۱۹۷۴ و جویز و بور ۱۹۸۱. رگرسیون مربوط به جهت‌های خاوری- باختری (در راستای گسل) و شمالی- جنوبی (عمود بر راستای گسل) نیز در شکل مشخص شده است.

- مقدارهای بیشینه شتاب در این زلزله نسبت به زمین لرزه های با بزرگای مشابه مقدارهای دست پایین تری را نشان می دهد. این زلزله علی رغم میزان بالای خرابی با بیشینه شتابی کمتر از

50% (در بیشترین حالت) همراه بوده است

- کاهندگی بیشینه شتاب در جهت خاوری- باختری (موازی گسل) آرامتر از جهت شمالی- جنوبی (عمود بر روند گسل) بوده است.

بررسیهای انجام شده و تحلیلهایی که در این مقاله عنوان گردید

- 12-Kandili Observatoy Internet WEB Page for the Izmit Kocaeli Earthquake of August 17, 1999, at <http://www.boun.edu.tg.1999>.
- 13-Reasenberg, P. A. and Jones, L. M., "Earthquake Hazard After a Mainshock in California", Science, Volume 243, pp. 1173-1176, 1989.
- 14-Reasenberg, P. A. and Jones, L. M., "Earthquake Aftershocks: Update", Science, Volume 265, pp. 1251-1252, 1994.
- 15-Zare', M., Contribution a' L' etude des mouvements forts en Iran: du Catalogue aux lois d' attenuations, Ph. D. thesis universite' Joseph-Fourier, Grenoble France, 1999.
- * با توجه به اینکه تصحیح داده های شتابنگاری در پژوهشگاه و توسط نگارنده /نجام شده است، علاقه مندان به در اختیار داشتن این داده ها می توانند با نگارنده تماس حاصل نمایند.
- by Earthquake Stress Triggering Geophysical Journal International, Vol. 128, 594-604, 1996.
- 9-Arpat, Essen, Preliminary Eveluation of August 17, 1999, Kocaeli Earthquake from the Geological Field Date, Dept.f Geophysics Kandili Observatoy, Bagzici University, 3 Pages 1999.
- 10-Earthquake Engineering Research Institute (EERI) EERI Special Earthquake Report on the Izmit, (Kocaeli) Earthquake of Ansust, 17 1999, 14 Pages 1999.
- 11-U.S. Geological Survey, Webpage on the Izmit, Kocaeli Earthquake of August 19, 1999, http://quake.wr.usgs.gov/Study/Turkey/aftprobs_0916.htm. 1999.